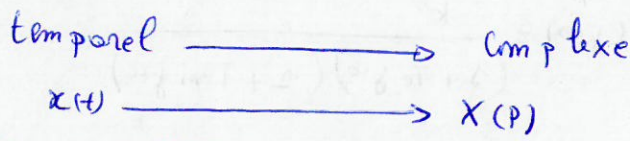


# Asservissement : la transformée de Laplace

## \* Définit

le passage de :



$$X(P) = L(x(t)) = \int_0^{+\infty} x(t) \cdot e^{-Pt} dt$$

## \* Propriétés

- Dérivée :  $\mathcal{R}(t) = \frac{d\theta(t)}{dt} \Rightarrow \mathcal{R}(P) = P \cdot \theta(P)$

- Intégrer :  $\theta(t) = \int \mathcal{R}(t) dt \Rightarrow \theta(P) = \frac{1}{P} \mathcal{R}(P)$

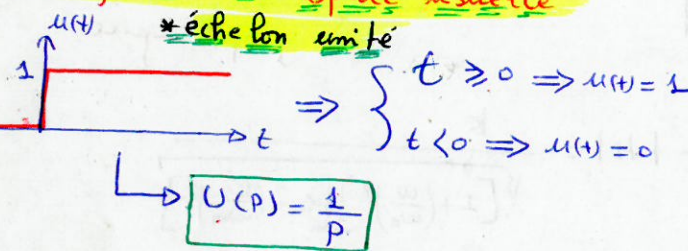
- théorème de la valeur finale

$$\lim_{t \rightarrow +\infty} x(t) \Rightarrow \lim_{P \rightarrow 0} P \cdot X(P)$$

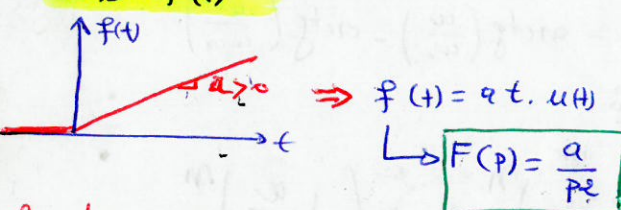
- théorème de la valeur initiale

$$\lim_{t \rightarrow 0} x(t) \Rightarrow \lim_{P \rightarrow +\infty} P \cdot X(P)$$

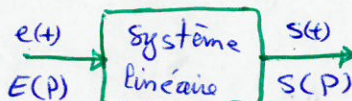
## \* Transformée de Laplace usuelle



## \* Temps : f(t)



## \* fmct im de transfert



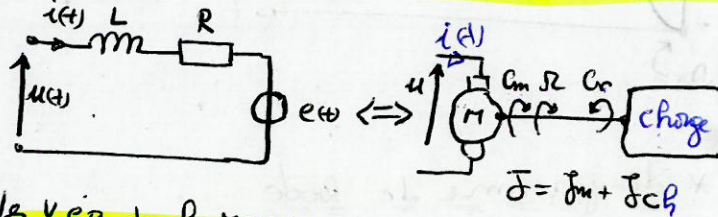
un système est linéaire si il est représenté par une équation différentielle :

$$b_0 s(t) + b_1 \frac{ds(t)}{dt} + \dots + b_m \frac{d^m s(t)}{dt^m} = a_0 e(t) + a_1 \frac{de(t)}{dt} + \dots + a_n \frac{d^n e(t)}{dt^n}$$

$$\Rightarrow H(P) = \frac{a_0 + a_1 P + \dots + a_n P^n}{b_0 + b_1 P + \dots + b_m P^m}$$

fmct de transfert

## Application : machine à courant continu



les Vég de la RCC :

$$u(t) = L \frac{di(t)}{dt} + R i(t) + e(t) \Rightarrow E(t) = k \mathcal{R}(t)$$

$$\bar{f} \frac{d\mathcal{R}}{dt} = C_m(t) - C_r(t) - f \mathcal{R}(t) \Rightarrow C_m(t) = k i(t)$$

## \* la transformée de Laplace

$$U(P) = L \cdot P \cdot I(P) + R I(P) + E(P) \Rightarrow E(P) = k \mathcal{R}(P)$$

$$\bar{f} \cdot P \cdot \mathcal{R}(P) = C_m(P) - C_r(P) - f \mathcal{R}(P) \Rightarrow C_m(P) = k I(P)$$

\* fmct de transfert si  $C_r = 0$

on :  $\Rightarrow H(P) = \frac{\mathcal{R}(P)}{U(P)}$

$$\bar{f} P \mathcal{R}(P) + f \mathcal{R}(P) = C_m(P) = k I(P)$$

$$\Leftrightarrow \mathcal{R}(P) [\bar{f} P + f] = k I(P) \quad (1)$$

et que :  $I(P)(L \cdot P + R) = U(P) - E(P)$

$$\Leftrightarrow I(P) = \frac{U(P)}{L \cdot P + R} - \frac{E(P)}{L \cdot P + R}$$

$$\Leftrightarrow I(P) = \frac{U(P)}{L \cdot P + R} - \frac{k \mathcal{R}(P)}{L \cdot P + R} \quad (2)$$

$$\Rightarrow \mathcal{R}(P) [\bar{f} \cdot P + f + \frac{k^2}{L \cdot P + R}] = \frac{U(P) k}{L \cdot P + R}$$

finalement :

$$H(P) = \frac{k}{k^2 + R \bar{f} + (R \bar{f} + L \bar{f}) P + L \bar{f} P^2}$$

on cherche la sortie  $S(P)$  si  $H(t)$  est en échelon

$$H(P) = \frac{S(P)}{U(P)} \Rightarrow U(P) = \frac{U_0}{P}$$

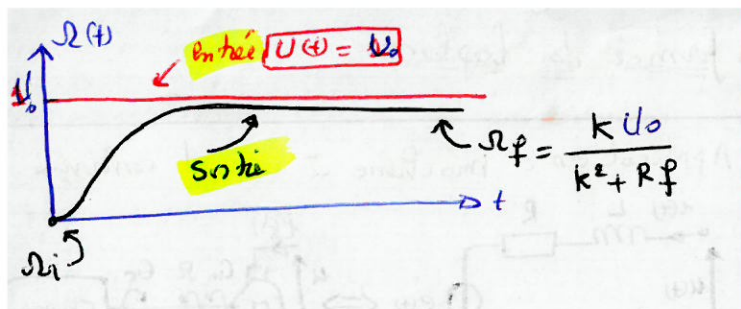
$$\Rightarrow \mathcal{R}(P) = \frac{U_0}{P} \times \frac{k}{k^2 + R \bar{f} + (R \bar{f} + L \bar{f}) P + L \bar{f} P^2}$$

\* la valeur finale

$$\mathcal{R}_f = \lim_{P \rightarrow 0} P \cdot \mathcal{R}(P) \Rightarrow \mathcal{R}_f = \frac{k \cdot U_0}{k^2 + R \bar{f}}$$

\* la valeur initiale

$$\mathcal{R}_i = \lim_{P \rightarrow +\infty} P \cdot \mathcal{R}(P) \Rightarrow \mathcal{R}_i = 0$$



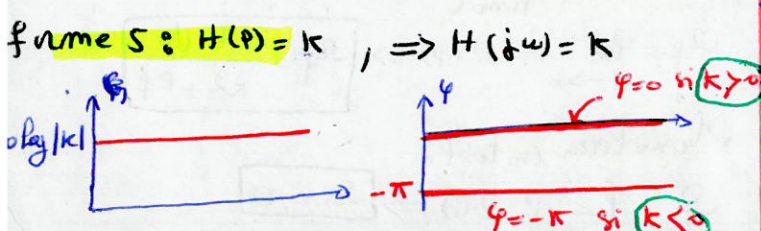
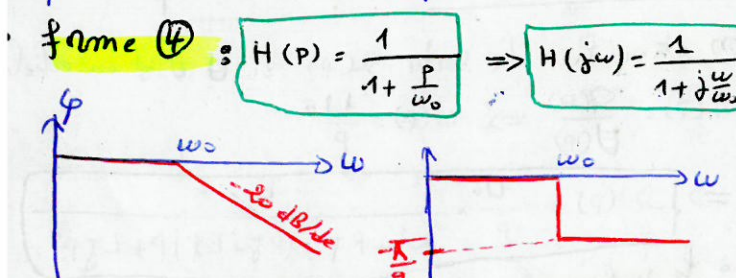
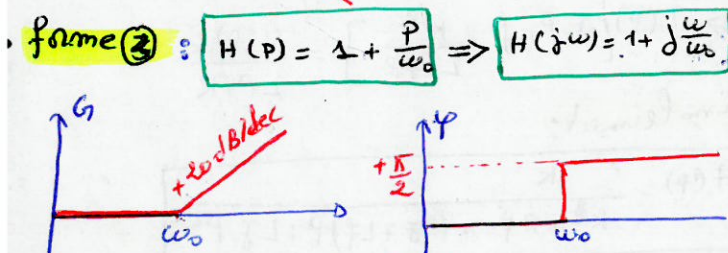
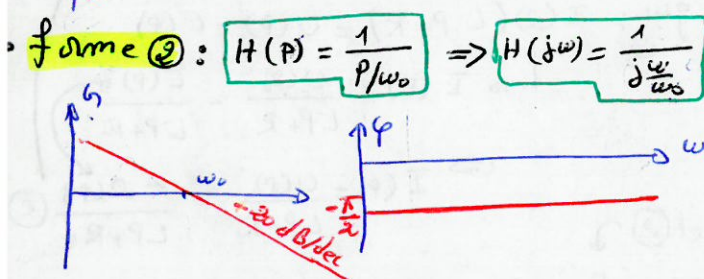
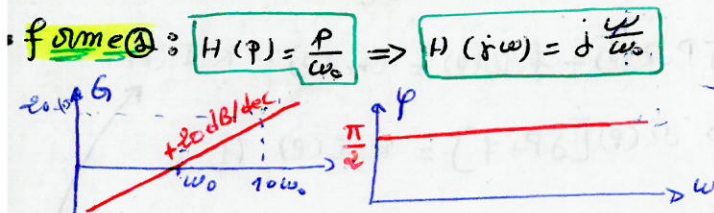
### \* Diagramme de Bode

$$H(P) \xrightarrow{P \rightarrow j\omega} H(j\omega)$$

il s'agit de la représentation de

$$\left\{ \begin{array}{l} G(j\omega) = 20 \log_{10}(|H(j\omega)|) \\ \varphi(j\omega) = \arg(H(j\omega)) \end{array} \right.$$

Pour tracer le diagramme de Bode on se servira de :

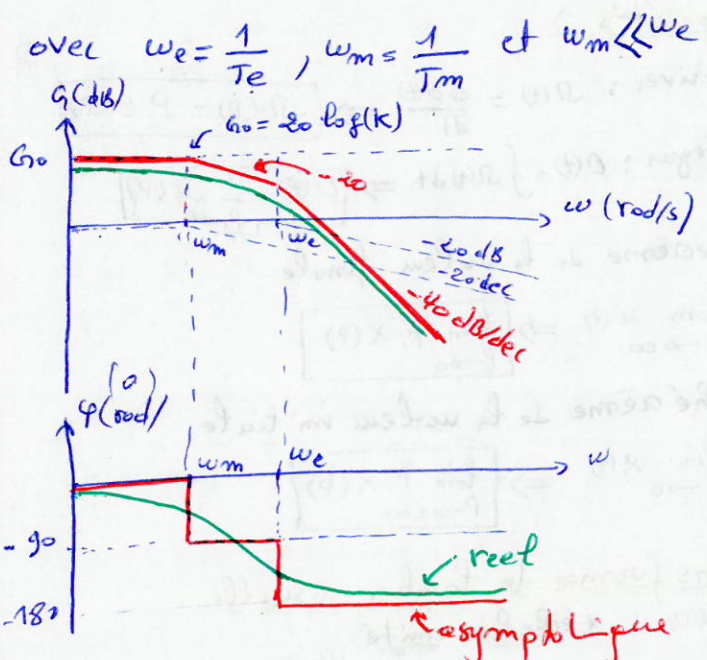


Ex: machine à courant continu

$$H(P) = \frac{K}{(1+T_e P)(1+T_m P)} \text{ avec } K > 0$$

$$\Rightarrow H(j\omega) = \frac{K}{(1+T_e j\omega)(1+T_m j\omega)}$$

$$= \frac{K}{(1+j \frac{\omega}{\omega_e})(1+j \frac{\omega}{\omega_m})}$$



$$\left\{ |H| = \frac{K}{\sqrt{[1+(\frac{\omega}{\omega_e})^2][1+(\frac{\omega}{\omega_m})^2]}}$$

$$\varphi = -\arctg(\frac{\omega}{\omega_e}) - \arctg(\frac{\omega}{\omega_m})$$

Rappel :

$$\left(1 + j \frac{\omega}{\omega_0}\right)^n \text{ ou } \left(j \frac{\omega}{\omega_0}\right)^n$$

$$\text{Pente} = m \times 20$$

$$\varphi = m \times \frac{\pi}{2}$$

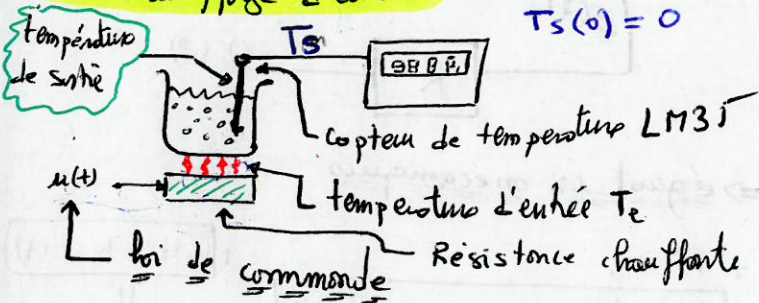
$$\operatorname{arg}\left(\frac{a}{b}\right) = \operatorname{arg}(a) - \operatorname{arg}(b)$$

$$\operatorname{arg}(a \times b) = \operatorname{arg}(a) + \operatorname{arg}(b)$$

$$\operatorname{arctg}(a) + \operatorname{arctg}(b) = \operatorname{arctg}\left(\frac{a+b}{1-ab}\right)$$

## Asservissement : Notions de bases

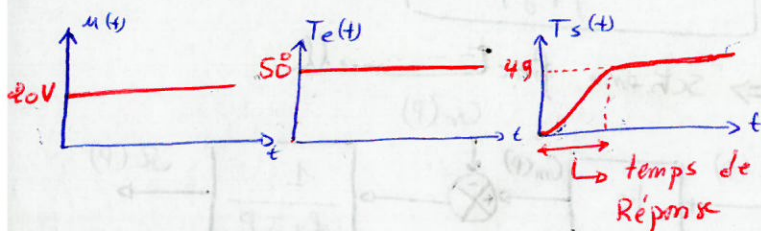
**Ex: chauffage d'eau**



u(t) : régler la température d'entrée

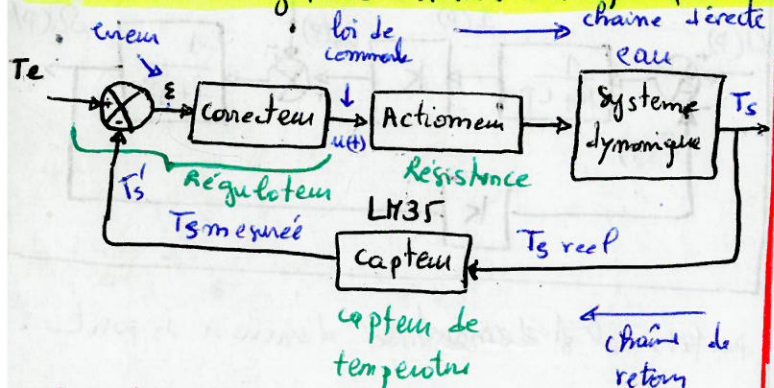
Te : la température d'entrée désirée

Ts : la température d'eau ou température de sortie Ts



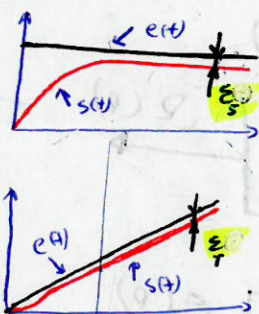
la sortie tend vers la valeur de consigne (Te) dans une durée de  $t_r$ : temps de réponse.

schéma d'un système asservi : exemple pris dans

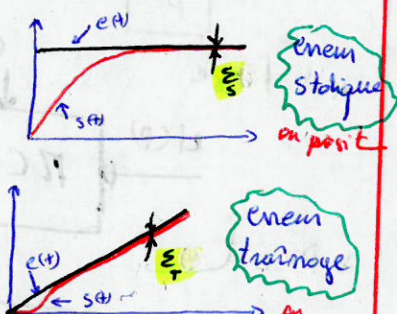


\* Qualités d'un système asservi

\* La précision : l'erreur tend vers 0

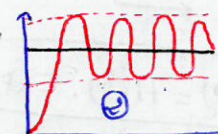
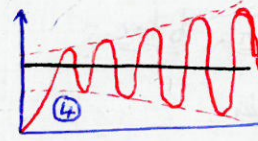
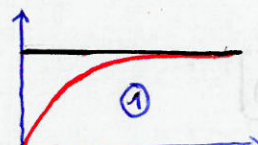


$E_s \neq 0$ ,  $E_T \neq 0$   
système non précis



$E_s = 0$ ,  $E_T = 0$   
système précis

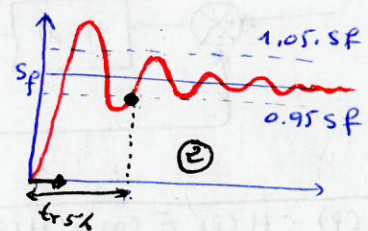
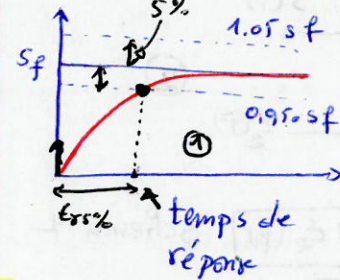
\* la stabilité



Système stable si une entrée bornée donne une sortie bornée

- ① système stable
- ② système stable à la limite de stabilité
- ③ système instable
- ④ système instable

\* la rapidité : temps de réponse



Régime oscillant amorti

Régime non oscillant amorti

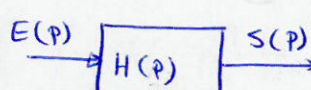
Système ① est rapide par rapport au système ②

dmc c/c : on cherche à avoir :
 

- un système stable
- un système précis
- un système rapide

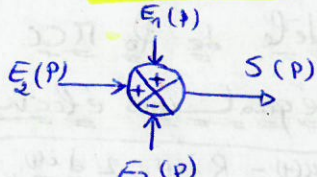
\* Représentation fonctionnelle d'un système asservi

\* le bloc



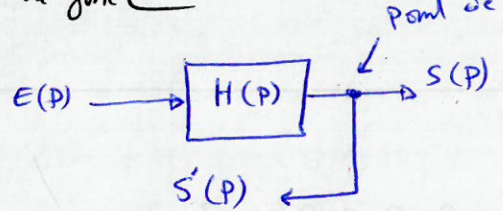
$$S(p) = H(p) \cdot E(p)$$

\* le sommeteur



$$S(p) = E_1(p) + E_2(p) - E_3(p)$$

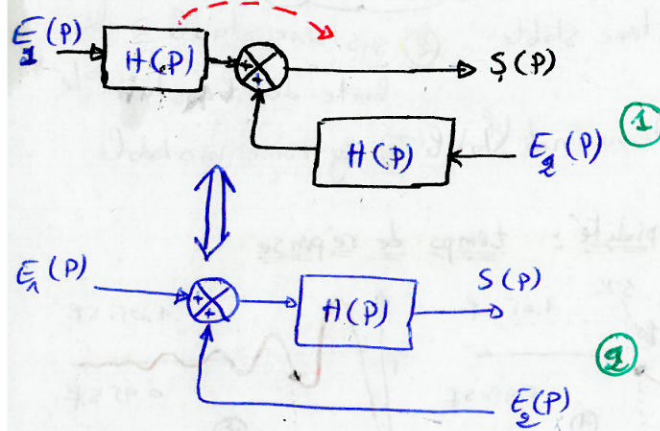
\* la sonct



$$S'(P) = S(P) = H(P) \cdot E(P)$$

\* Regles relatives au schema bloc

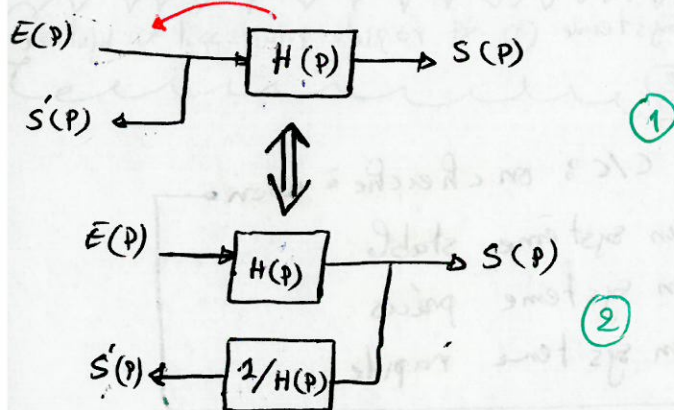
### \* Displacement d'un sem موئ



$$S(p) = H(p) \cdot E_1(p) + H(p) E_2(p)$$

$$S(p) = H(p)(\epsilon_1(p) + \epsilon_2(p))$$

\* Déplacement d'une fonct



$$S'(P) = \underbrace{E(P)}_{\text{Schéma (1)}} = H(P) \cdot \frac{1}{H(P)} \cdot \underbrace{E(P)}_{\text{Schéma (2)}}$$

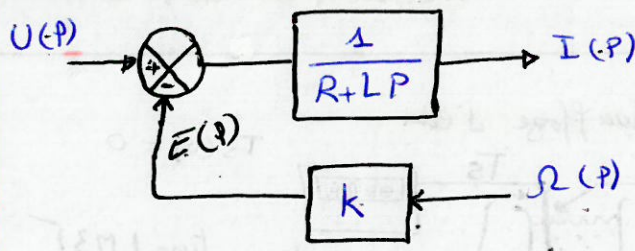
## \* Modèle de la RCC

$\Rightarrow$  équations électrique

$$u(t) = R i(t) + L \frac{di(t)}{dt} + e(t) \Rightarrow I(p) = \frac{U(p) - E(p)}{R + Lp}$$

$$\bullet \boxed{R(t) = k \cdot S(t)} \Rightarrow \boxed{E(p) = k \cdot S(p)}$$

\* Representational function



$\Rightarrow$  équation mécaniques

+ PFD ?

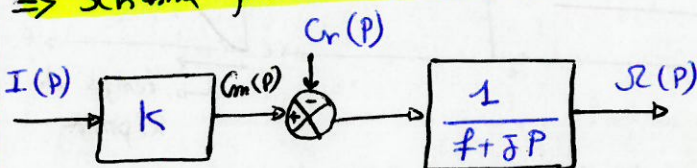
$$\int \frac{d\Omega(t)}{dt} = C_m(t) - C_n(t) - f \Omega(t)$$

$$+ C_m(t) = K \dot{e}(t)$$

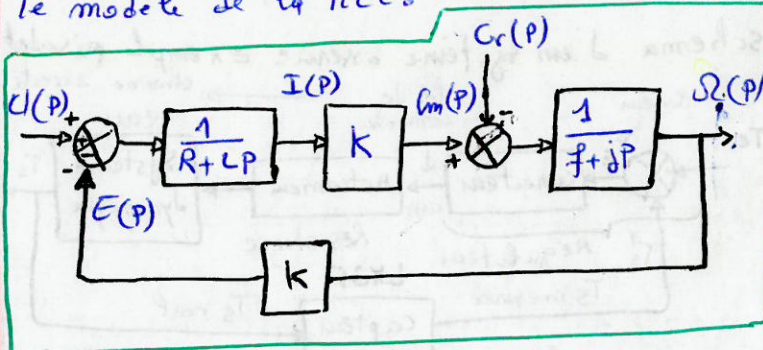
$$\text{JL}(P) = \frac{C_m(P) - Cr(P)}{P}$$

$$C_m(p) = k \cdot I(p)$$

$\Rightarrow$  Schema fonctionnel.



$\Rightarrow$  l'associat de deux schéma  $\text{Im}^+$   
le modèle de la MCCS

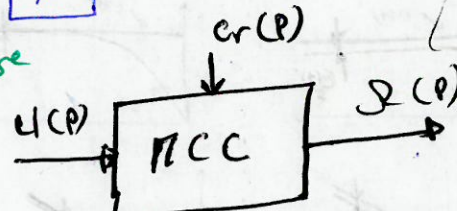


parfois il est demandé d'essayer la portée :

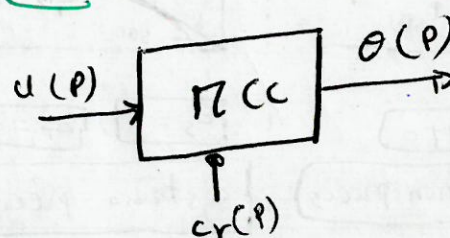
$$\Omega(t) = \frac{d\Theta(t)}{dt} \Rightarrow \Omega(p) = p \cdot \theta'(p) \Rightarrow \Theta(p) = \frac{1}{p} \Omega(p)$$

$$\text{L} \xrightarrow{\mathcal{S}(P)} \boxed{\frac{1}{P}} \xrightarrow{\mathcal{O}(P)}$$

## \* Witterung

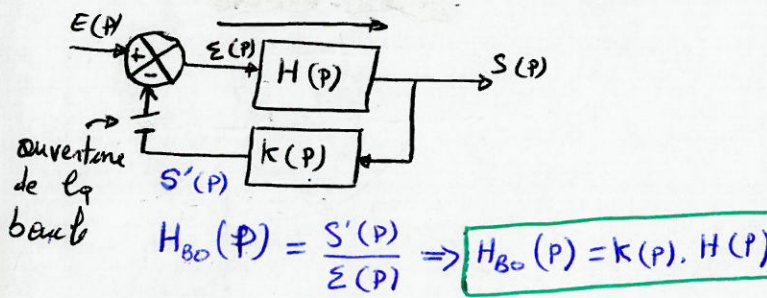


\* posit

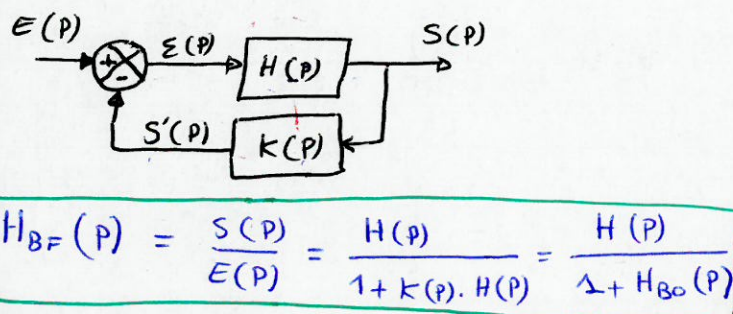


\* des fonctions de transfert d'un système asservi.

### • fonction de transfert en boucle ouverte



### • fonction de transfert en boucle fermée

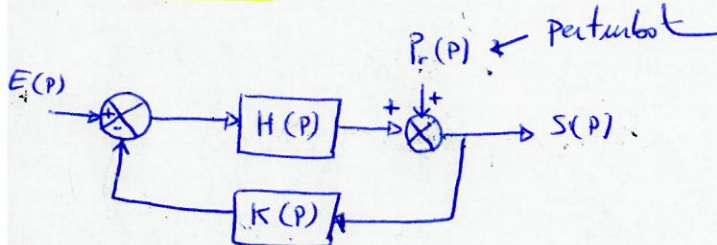


Démonstration :

$$\begin{aligned} S(P) &= H(P) \cdot \Sigma(P) = H(P) \cdot (E(P) - S'(P)) \\ &= H(P) \cdot (E(P) - K(P) \cdot S(P)) \\ \Leftrightarrow S(P)(1 + K(P) \cdot H(P)) &= H(P) \cdot E(P) \end{aligned}$$

$$\Leftrightarrow \frac{S(P)}{E(P)} = \frac{H(P)}{1 + K(P) \cdot H(P)} = \frac{H(P)}{1 + H_{BO}(P)} = H_{BF}(P)$$

### \* propriétés d'un système bouclé ; influence d'une perturbation



Le système maintenant à deux entrées :

$E(P)$  : entrée utile (consigne)

$P_r(P)$  : entrée perturbatrice (perturbation).

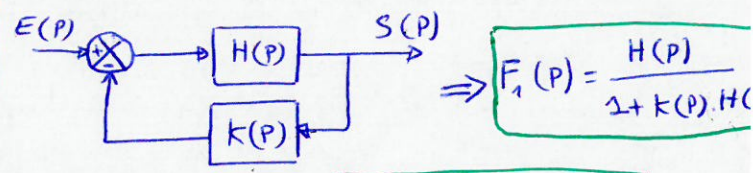
On note la fonction de transfert s'écrit :

$$S(P) = F_1(P) \cdot E(P) + F_2(P) \cdot P_r(P)$$

d'où :

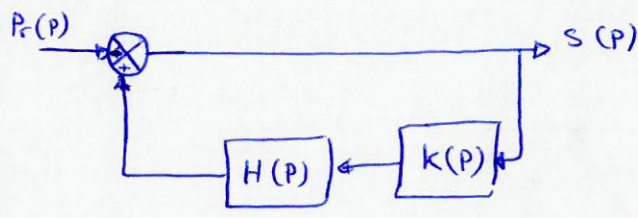
$$F_1(P) = \left. \frac{S(P)}{E(P)} \right|_{P_r=0} \quad / \quad F_2(P) = \left. \frac{S(P)}{P_r(P)} \right|_{E=0}$$

$F_1(P) ?$   $P_r=0$



$$F_{BO}(P) = K(P) \cdot H(P) \Rightarrow F_1(P) = \frac{H(P)}{1 + F_{BO}(P)}$$

$F_2(P) ?$   $E=0$



$$F_2(P) = \frac{1}{1 + K(P) \cdot H(P)} = \frac{1}{1 + F_{BO}(P)}$$

d'où,

$$S(P) = \frac{H(P)}{1 + F_{BO}(P)} E(P) + \frac{1}{1 + F_{BO}(P)} \cdot P_r(P)$$

si  $E(H)$  et  $P_r(t)$  sont des échelons

$$\Rightarrow E(P) = \frac{E_0}{P}, \quad P_r(P) = \frac{P_{ro}}{P}$$

$$S(P) = \frac{E_0}{P} \frac{H(P)}{1 + F_{BO}(P)} + \frac{P_{ro}}{P} \frac{1}{1 + F_{BO}(P)}$$

⇒ le voltage final de la sortie

$$S_f = \lim_{P \rightarrow 0} P \cdot S(P) \Rightarrow$$

$$S_f = E_0 \frac{H(0)}{1 + F_{BO}(0)} + P_{ro} \frac{1}{1 + F_{BO}(0)}$$

C/C : la perturbation influe moins sur la sortie.

si  $P_r \uparrow \Rightarrow S_f \uparrow$

## système 2<sup>e</sup> ordre

### \* Equat différentielle

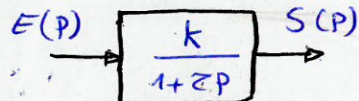
$$2 \frac{ds(t)}{dt} + s(t) = K \cdot e(t)$$

### \* fnc tcm de transfert

$$H(P) = \frac{S(P)}{E(P)} = \frac{K}{1 + 2P}$$

$K$ : gain statique  
 $\tau$ : constante de temps

### \* schéma bloc



### \* Réponse indicielles.

$$e(t) = E_0 \cdot u(t) \Rightarrow E(P) = \frac{E_0}{P}$$

$$\Rightarrow S(P) = E(P) \cdot \frac{K}{1+2P} \Rightarrow S(P) = \frac{E_0}{P} \frac{K}{1+2P}$$

! d'après tableau des fnc tcm de transfert

$$S(t) = K E_0 (1 - e^{-t/\tau})$$

### \* Etude de la réponse indicielle.

#### • le voleum final

$$\lim_{t \rightarrow +\infty} S(t) = \lim_{P \rightarrow 0} P \cdot S(P) \Rightarrow \lim_{P \rightarrow 0} P \cdot \frac{E_0}{P} \frac{K}{1+2P}$$

$$S_f = K E_0$$

avec

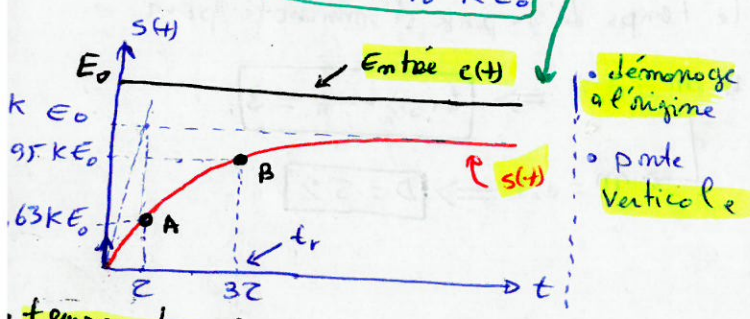
$$K = \frac{S_\infty}{E_0}$$

#### • la voleum initial

$$\lim_{t \rightarrow 0} S(t) \Rightarrow \lim_{P \rightarrow +\infty} P \cdot S(P) \Rightarrow S_i = 0$$

#### les voleums renouvelable

- $t = \tau \Rightarrow S(t) = 63\% K E_0$
- $t = 3\tau \Rightarrow S(t) = 95\% K E_0$

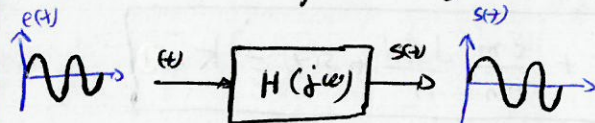


• temps de réponse à 5% très

$$S(t_r) = 0,95 K E_0 = K E_0 (1 - e^{-t_r/\tau})$$

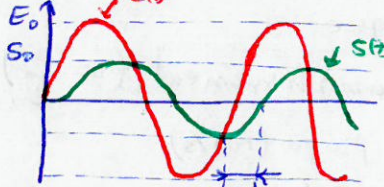
$$e^{-t_r/\tau} = 0,05 \Rightarrow t_{5\%} = 3\tau$$

### \* Réponse harmonique ou fréquentielle



$$e(t) = E_0 \sin(\omega t)$$

$$s(t) = S_0 \sin(\omega t - \varphi)$$



### \* fnc tcm de transfert complexe

$$P = j\omega \Rightarrow H(j\omega) = \frac{K}{1 + 2j\omega} \Rightarrow$$

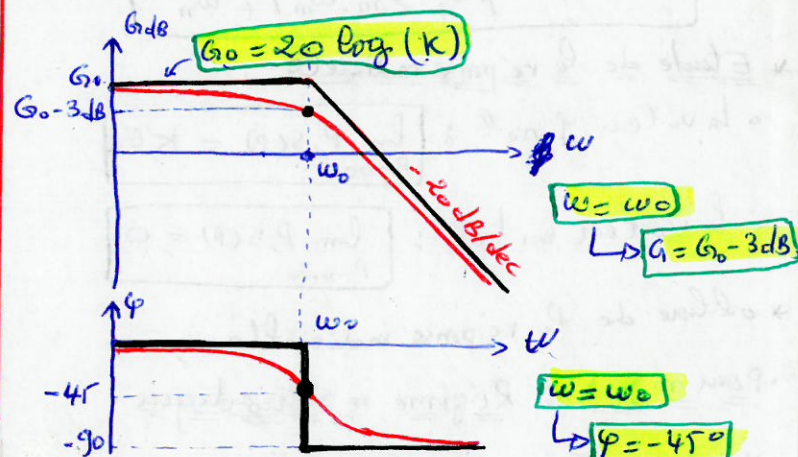
### \* module et phase de $H(j\omega)$

$$|H(j\omega)| = \frac{K}{\sqrt{1 + (\tau\omega)^2}}, \quad \varphi(j\omega) = -\arctg(\tau\omega)$$

### \* Diagramme de Bode

$$G_{dB} = 20 \log \left( \frac{K}{\sqrt{1 + (\tau\omega)^2}} \right)$$

$$G_{dB} = 20 \log(K) - 20 \log(\sqrt{1 + (\tau\omega)^2})$$



• les informat qu'on peut tirer de D. Bode

• le gain statique :  $K = 10^{\frac{G_0}{20}}$   $\Leftrightarrow \omega = 0$

• la constante de temps :  $\tau = \frac{1}{\omega_0}$

## système 2<sup>ème</sup> ordre

\* équation de transfert  $\frac{dx}{dt} \rightarrow P^2 \times (P)$

$$\frac{1}{\omega_n^2} \frac{d^2 s(t)}{dt^2} + \frac{2m}{\omega_n} \frac{ds(t)}{dt} + s(t) = K e(t)$$

$K$ : gain statique

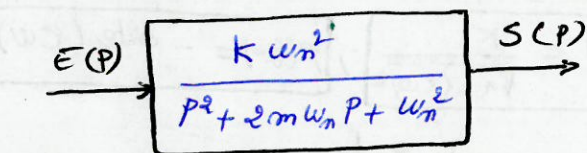
$m$ : facteur d'amortissement (ou  $\zeta$ )

$\omega_n$ : pulsation propre (rad/s)

\* fonction de transfert

$$H(P) = \frac{s(P)}{E(P)} = \frac{K \cdot \omega_n^2}{P^2 + 2m\omega_n P + \omega_n^2}$$

\* Schéma bloc



\* Réponse indicielle

$$e(t) = E_0 \cdot u(t) \Rightarrow E(P) = \frac{E_0}{P}$$

$$\Rightarrow s(P) = \frac{E_0}{P} \frac{K \cdot \omega_n^2}{P^2 + 2m \cdot \omega_n P + \omega_n^2}$$

\* Etude de la réponse indicielle.

- La valeur finale :  $\lim_{P \rightarrow 0} P \cdot s(P) = K E_0$

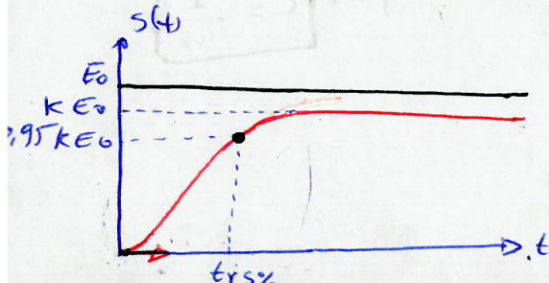
- La valeur initiale :  $\lim_{P \rightarrow \infty} P \cdot s(P) = 0$

\* allure de la réponse indicielle

\* Pour  $m \geq 1$  : Régime périodique

$$H(P) = \frac{K}{\frac{1}{\omega_n^2} P^2 + \frac{2m}{\omega_n} P + 1} = \frac{K}{(1 + \zeta_1 P)(1 + \zeta_2 P)}$$

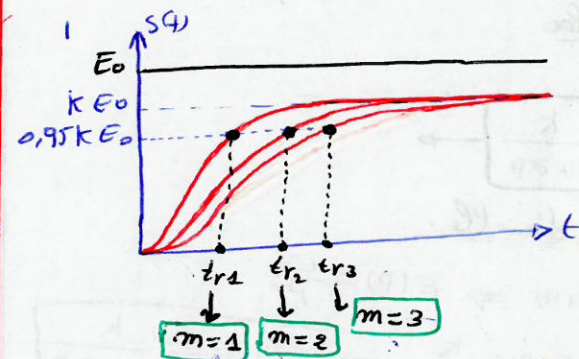
$$\text{Si } E(P) = \frac{E_0}{P} \Rightarrow s(P) = \frac{E_0}{P} \frac{K}{(1 + \zeta_1 P)(1 + \zeta_2 P)}$$



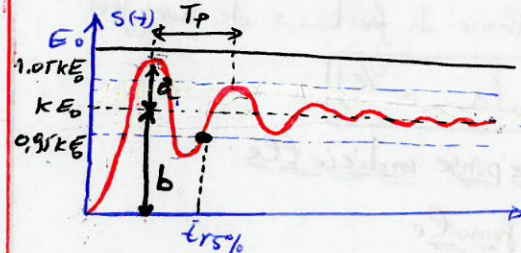
\* Pour  $m = 1$  : Régime périodique critique

$$H(P) = \frac{K}{\frac{1}{\omega_n^2} P^2 + \frac{2m}{\omega_n} P + 1} = \frac{K}{(1 + \zeta P)^2}$$

$$\text{Si } E(P) = \frac{E_0}{P} \Rightarrow s(P) = \frac{E_0}{P} \frac{K}{(1 + \zeta P)^2}$$

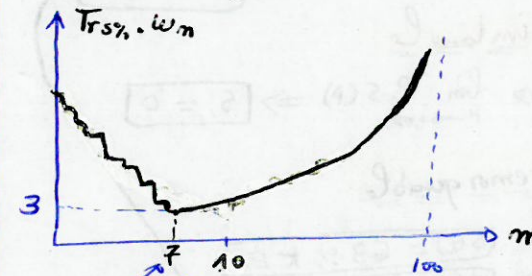


\* Pour  $m < 1$  : régime oscillatoire amorti



- Dépassee :  $D \% = 100 \times \frac{a}{b}$

- temps de réponse



Le temps de réponse est minimal pour

$$\bullet m = 0.7 \Rightarrow T_{rs5\%} \cdot \omega_n = 3$$

$$\Rightarrow m = 0.7 \Rightarrow D = 5\%$$

\* Réponse harmonique 2<sup>eme</sup> ordre  
→ pour  $m > 1$ : deux solution réelle

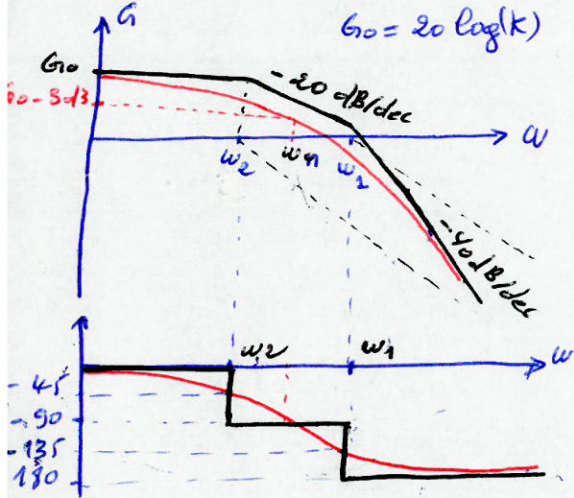
$$\left\{ \begin{array}{l} \omega_1 = m\omega_n + \sqrt{m^2 - 1} \cdot \omega_n = \frac{1}{\tau_1} \\ \omega_2 = m \cdot \omega_n - \sqrt{m^2 - 1} \cdot \omega_n = \frac{1}{\tau_2} \end{array} \right.$$

$$H(j\omega) = \frac{k}{(1+j\zeta_1\omega)(1+j\zeta_2\omega)} \text{ avec } \omega_1 > \omega_2$$

$$\rightarrow |H(j\omega)| = \frac{k}{\sqrt{(1+(\zeta_1\omega)^2)(1+(\zeta_2\omega)^2)}}$$

$$\rightarrow \varphi(H(j\omega)) = -\operatorname{arctg}(\zeta_1\omega) - \operatorname{arctg}(\zeta_2\omega)$$

\* Diagramme de Bode si  $k > 0$



C/C:

$$\text{à } G_0 - 3dB \rightarrow \omega = \omega_n = \frac{1}{\sqrt{\zeta_1 \zeta_2}}$$

$$\text{à } \varphi = -45^\circ \rightarrow \omega = \omega_2 = \frac{1}{\zeta_2}$$

$$\text{à } \varphi = -90^\circ \rightarrow \omega = \omega_n$$

$$\text{à } \varphi = -135^\circ \rightarrow \omega = \omega_1 = \frac{1}{\zeta_1}$$

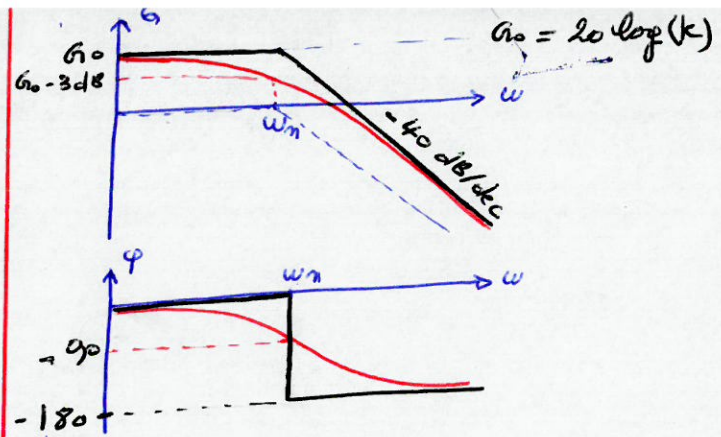
\* Pour  $m = 1 \Rightarrow$  deux solution, doubles

$$\left\{ \begin{array}{l} \omega_1 = \omega_2 = m\omega_n = \frac{1}{\zeta} = \omega_0 \end{array} \right.$$

$$H(j\omega) = \frac{k}{(1+j\zeta\omega)^2}$$

$$\rightarrow |H(j\omega)| = \frac{k}{1+(\zeta\omega)^2}$$

$$\rightarrow \varphi(H(j\omega)) = -2\operatorname{arctg}(\zeta\omega)$$



C/C

$$\begin{aligned} \text{à } G_0 - 3dB &\rightarrow \omega = \omega_n = \frac{1}{\zeta} \\ \text{à } \varphi = -90^\circ &\rightarrow \omega = \omega_n \end{aligned}$$

\* Pour  $m < 1$ : deux solution imaginaire

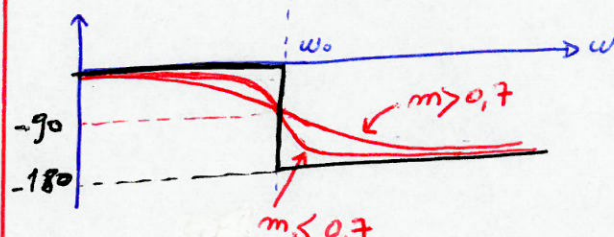
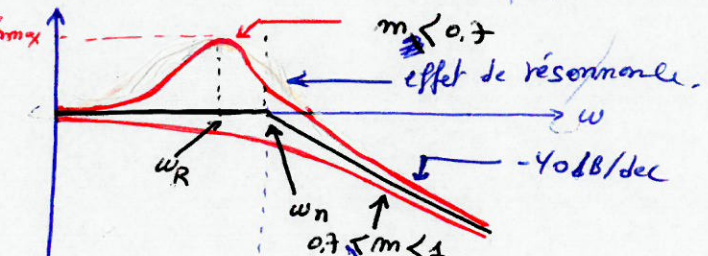
$$\left\{ \begin{array}{l} \omega_1 = m\omega_n + j\sqrt{1-m^2}\omega_n \\ \omega_2 = m\omega_n - j\sqrt{1-m^2}\omega_n \end{array} \right.$$

$$H(j\omega) = \frac{k}{1 + 2m j\frac{\omega}{\omega_n} + (\frac{\omega}{\omega_n})^2}$$

$$H(j\omega) = \frac{k}{1 - (\frac{\omega}{\omega_n})^2 + 2m j\frac{\omega}{\omega_n}}$$

$$\rightarrow |H(j\omega)| = \frac{k}{\sqrt{(1-(\frac{\omega}{\omega_n})^2)^2 + (2m\frac{\omega}{\omega_n})^2}}$$

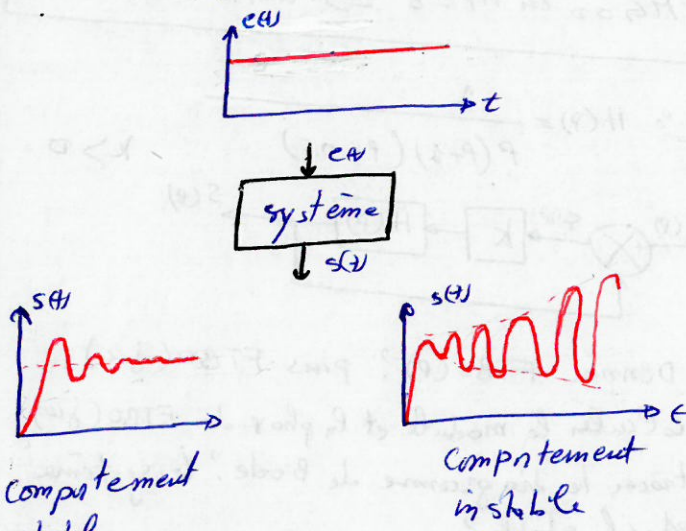
$$\rightarrow \varphi(j\omega) = -\operatorname{arctg}\left(\frac{2m\frac{\omega}{\omega_n}}{1-(\frac{\omega}{\omega_n})^2}\right)$$



# Asservissement : La stabilité des systèmes asservis

## Définition

un système est stable si à une entrée bornée correspond une sortie bornée.

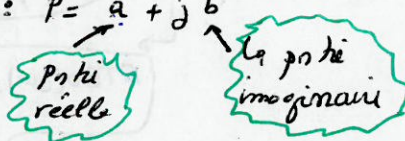


## \* Condition de stabilité

$$H(P) = \sum_i \frac{c_i}{P - P_i} + \sum_i \frac{a_i P + b_i}{(P - a_i)^2 + b_i}$$

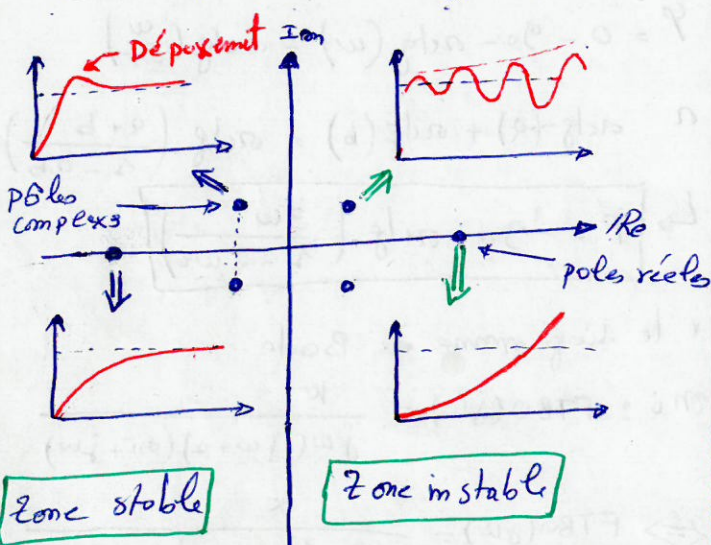
pôles réel                      pôles complexe

$$\Rightarrow \text{un pôle : } P = a + j b$$



un système linéaire est stable si et seulement si

si la fréq. de transfert ne comporte que des pôles à partie réelle négative  $\Re < 0$



$$\underline{\text{Ex:}} \quad H(P) = \frac{3}{P^3 + 2P^2 + 3P + 5}$$

$$\Rightarrow D(P) = P^3 + 2P^2 + 3P + 5 \Rightarrow x^3 + 2x^2 + 3x + 5 = 0$$

$$\left\{ \begin{array}{l} P_1 = -1.185 \quad \text{pôle réel} \\ P_2 = -0.078 + j1.64 \\ P_3 = -0.078 - j1.64 \end{array} \right\} \begin{array}{l} \text{deux pôles imaginaires} \\ \downarrow \\ \text{système représenté} \\ \text{un déphasage}. \end{array}$$

car les pôles tous à partie réelle négative

\* Critères de Routh à partir du diagramme de Bode

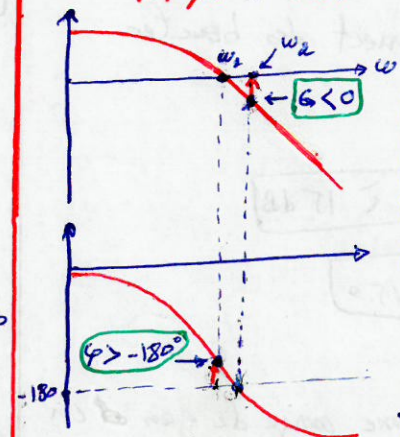
• Il faut vérifier :

$$\textcircled{1} \quad \left\{ \begin{array}{l} |FTBO(j\omega_1)| = 1 \Leftrightarrow \text{gain } G = 0 \\ \text{Arg}(FTBO(j\omega_1)) > -180^\circ \end{array} \right.$$

$$\textcircled{2} \quad \left\{ \begin{array}{l} \text{Arg}(FTBO(j\omega_2)) = -180^\circ \\ |FTBO(j\omega_2)| < 1 \Leftrightarrow G < 0 \end{array} \right.$$

Cette méthode s'applique aux cas où la fréq. de transfert en boucle ouverte ne passe pas par zéro et de pôles instables.

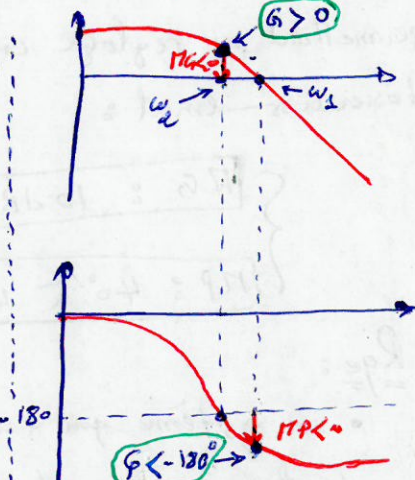
$$\underline{\text{Ex:}} \quad MP > 0, MG > 0$$



système stable

Vérifie les deux critères

$$MP < 0, MG < 0$$

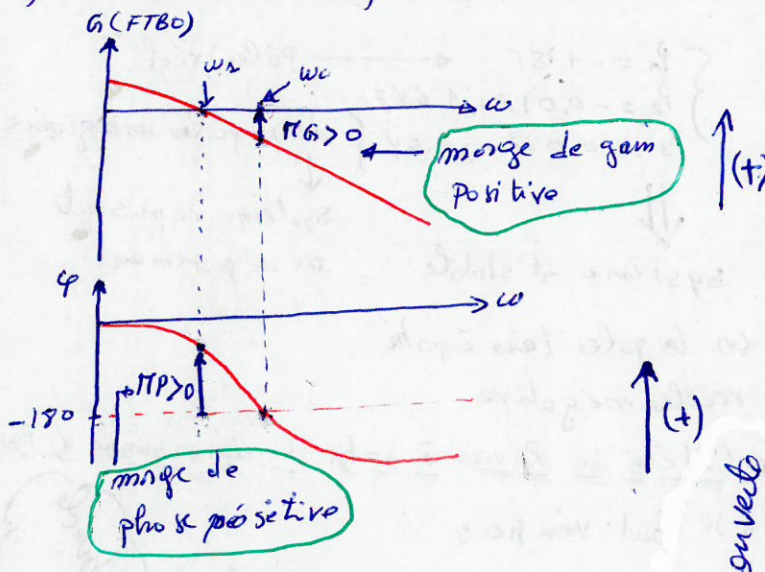


système instable

ne vérifie pas les deux critères.

## \* Marge de stabilité

les marge de stabilité sont la marge de gain  $M_G$  et marge de phase à définir pour un système afin d'éviter l'instabilité du système en boucle fermée.



## \* Marge de gain = $M_G$

$$\left\{ \begin{array}{l} M_G = -20 \log(|FTBO(j\omega_c)|) \\ \omega_c / \text{Arg}(FTBO(j\omega_c)) = -180 \end{array} \right.$$

## \* Marge de phase = $MP$

$$\left\{ \begin{array}{l} MP = 180 + \text{Arg}(FTBO(j\omega_s)) \\ \omega_s / |FTBO(j\omega_s)| = 1 \end{array} \right.$$

Les valeurs usuelles de marge de stabilité permettent une réglage correct des boucles d'oscillations :

$$\left\{ \begin{array}{l} M_G : 10 \text{ dB à } 15 \text{ dB} \\ MP : 40^\circ \text{ à } 45^\circ \end{array} \right.$$

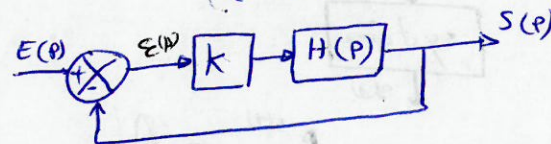
Règle :

- un système qui a une marge de gain ou de phase positive est un système stable.
- un système qui a une marge de gain ou une marge de phase négative  $\Rightarrow$  système instable.

• un système à une marge de phase ou gain nulle  $\Rightarrow$  système à la limite de stabilité

$$\left\{ \begin{array}{l} M_G > 0 \text{ ou } MP > 0 \Rightarrow \text{stable} \\ M_G < 0 \text{ ou } MP < 0 \Rightarrow \text{instable} \\ M_G = 0 \text{ ou } MP = 0 \Rightarrow \text{limite de stabilité} \end{array} \right.$$

$$\text{EX: } H(s) = \frac{2}{P(P+1)(P+0.5)} \quad K > 0$$



- Donner  $FTBO(P)$ ? puis  $FTBO(j\omega)$
- Calculer le module et la phase de  $FTBO(j\omega)$
- tracer le diagramme de Bode? le système est-il stable?
- Calculer la valeur de  $K$ ?
  - pour avoir  $M_G = 6 \text{ dB} \Rightarrow$  déduire  $MP$
  - $\Rightarrow$  pour  $MP = 45^\circ \Rightarrow M_G = 15 \text{ dB}$

Cor:

$$\begin{aligned} \bullet \text{ FTBO}(P) ? \Rightarrow & \boxed{FTBO(P) = \frac{K}{P(P+1)(P+0.5)}} \\ \bullet \text{ FTBO}(j\omega) = & \frac{K}{j\omega(j\omega+2)(j\omega+0.5)} \end{aligned}$$

• le module et la phase

$$|FTBO(j\omega)| = \frac{K}{\omega \sqrt{(1+\omega^2)(\omega^2+0.25)}}$$

$$\varphi = 0 - g_0 - \text{actg}(\omega) = \text{actg}\left(\frac{\omega}{0.5}\right)$$

$$\text{actg}(a) + \text{actg}(b) = \text{actg}\left(\frac{a+b}{1-ab}\right)$$

$$\hookrightarrow \varphi = -g_0 - \text{actg}\left(\frac{3\omega}{1-2\omega^2}\right)$$

\* le diagramme de Bode

$$\text{ex: } FTBO(j\omega) = \frac{K}{j\omega(j\omega+1)(0.5+j\omega)}$$

$$\Leftrightarrow FTBO(j\omega) = \frac{K}{0.5j\omega(1+j\omega)(1+j\frac{\omega}{0.5})^2}$$

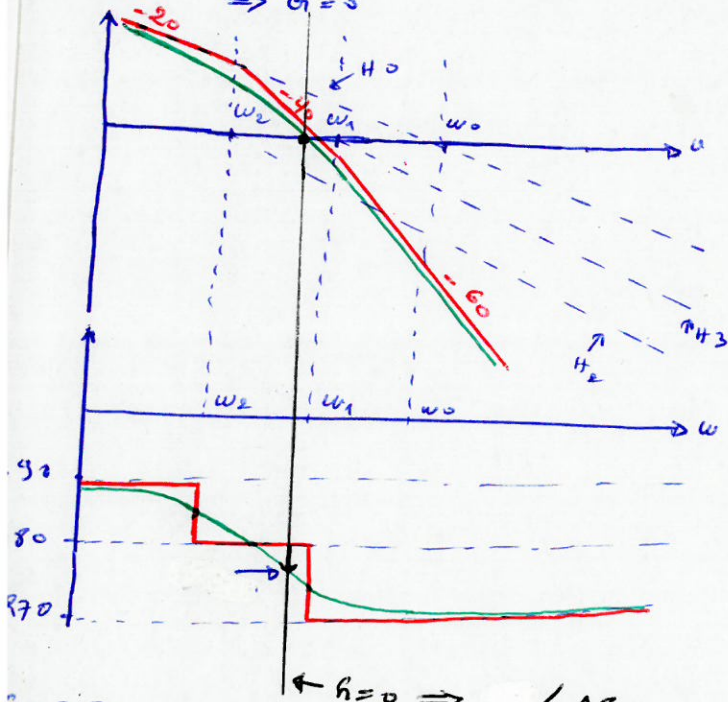
$$\Leftrightarrow FTB_0(j\omega) = \frac{K}{j\omega_c (1 + j\frac{\omega}{\omega_1})(1 + j\frac{\omega}{\omega_2})}$$

avec :  $\omega_0 = \frac{1}{0,15} = 2$ ,  $\omega_1 = 2$ ,  $\omega_2 = 0,15$

$$\Rightarrow \omega_0 > \omega_1 > \omega_2$$

$$\Leftrightarrow FTB_0(j\omega) = K \times \frac{H_0}{j\frac{\omega}{\omega_0}} \times \frac{H_1}{1 + j\frac{\omega}{\omega_1}} \times \frac{H_2}{1 + j\frac{\omega}{\omega_2}}$$

si  $K=1 \Rightarrow G=0$



$\varphi < -180^\circ \Rightarrow$  le système instable

la marge de stabilité

$$\left\{ \begin{array}{l} MG = -20 \log(FTB_0(j\omega_c)) \\ \omega_c / \operatorname{Arg}(FTB_0(j\omega_c)) = -180^\circ \end{array} \right. \quad ①$$

$$\left\{ \begin{array}{l} MP = 180 + \operatorname{Arg}(FTB_0(j\omega_1)) \\ \omega_1 / |FTB_0(j\omega_1)| = 1 \end{array} \right. \quad ②$$

Donc  $Mg = 6 \text{ dB} \Rightarrow K?$

On utilise la 1ère condition :

$$\omega_c / \operatorname{Arg}(FTB_0(j\omega_c)) = -180^\circ$$

$$-90 - \operatorname{arg} \left( \frac{3\omega_c}{1 - \omega_c^2} \right) = -180$$

$$\Leftrightarrow \operatorname{arg} \left( \frac{3\omega_c}{1 - \omega_c^2} \right) = -90$$

$$\Leftrightarrow \frac{3\omega_c}{1 - \omega_c^2} \rightarrow +\infty$$

$$\Leftrightarrow 1 - \omega_c^2 = 0 \Rightarrow \omega_c = \frac{1}{\sqrt{2}} = 0,707 \text{ rad/s}$$

⇒ cette  $\omega_c \Rightarrow$  on la remplace dans MG

$$MG = 6 \text{ dB} = -20 \log \left( \frac{K}{\omega_c \sqrt{(1+\omega_c^2)(0,25+\omega_c^2)}} \right)$$

$$\Leftrightarrow 6 = -20 \log \left( \frac{K}{0,707} \right) \quad \xrightarrow{K_c}$$

$$\Rightarrow K = K_c 10^{-\frac{6}{20}} \Rightarrow K = 0,375$$

⇒ la marge de phase pour ce gain K  
on utilise l'équation ①

$$|FTB_0(j\omega_c)| = 1$$

$$\frac{K}{\omega_c \sqrt{(1+\omega_c^2)(0,25+\omega_c^2)}} = 1 \quad \text{avec } K = 0,375$$

$$\Leftrightarrow \omega_c \sqrt{(1+\omega_c^2)(0,25+\omega_c^2)} = (0,375)$$

$$\Leftrightarrow \omega_c^6 + 1,25 \omega_c^4 + 0,25 \omega_c^2 - (0,375)^2 = 0$$

on pose  $X = \omega_c^2 \Rightarrow$

$$X^3 + 1,25 X^2 + 0,25 X - (0,375)^2 = 0$$

on prend que : la solution réelle.

$$X = 0,2355 \Rightarrow \omega_c = 0,485 \text{ rad/s}$$

$$MP = 180 + \operatorname{Arg}(FTB_0(j\omega_1))$$

$$MP = 180 - 90 - \operatorname{arg} \left( \frac{3\omega_1}{1 - \omega_1^2} \right)$$

$$\Rightarrow MP = 20^\circ$$

$$K \uparrow MG \downarrow MP \downarrow$$

arg  $\Rightarrow$  phase

utilise, la condition

$$\omega_s / |\text{FTBO}(\delta\omega_s)| = 1 ?$$

$$\text{arg}: 180 - 90 - \text{arg}\left(\frac{3\omega_1}{1 - 2\omega_1^2}\right) = 45$$

$$\Rightarrow \text{arg}\left(\frac{3\omega_1}{1 - 2\omega_1^2}\right) = 45$$

$$\Leftrightarrow \frac{3\omega_1}{1 - 2\omega_1^2} = 1$$

$$\Rightarrow 2\omega_1^2 + 3\omega_1 - 1 = 0$$

$$\Leftrightarrow \omega_1 = 0.28 \text{ rad/s}$$

$$\frac{k}{\omega_1 \sqrt{(\omega_1^2 + 1)(\omega_1^2 + 0.25)}} = 1$$

$$k = 0.166$$

$\Rightarrow$  la marge de gain MG?

$$MG = -20 \log \left( \frac{k}{\omega_c \sqrt{(\omega_c^2 + 1)(\omega_c^2 + 0.25)}} \right)$$

~~cancel~~

$$\text{arg}(\text{FTBO}(\delta\omega)) = -180^\circ$$

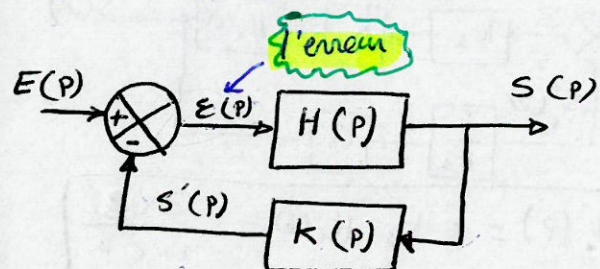
$$\Leftrightarrow \omega_c = \frac{1}{\sqrt{2}} = 0.707 \text{ rad/s}$$

$$\Leftrightarrow MG = -20 \log \left( \frac{0.166}{0.707} \right)$$

$$\Rightarrow MG = 13 \text{ dB}$$

## Asservir c'est : la précision

le rôle d'un système asservi est de faire <sup>↑</sup>  
à la sortie suivre l'entrée  $e(t)$



la précision du système sera mesurée par  
la valeur de  $\varepsilon(t)$  en régime permanent  
c'est à dire :  $\varepsilon = \lim_{t \rightarrow +\infty} \varepsilon(t) = \lim_{P \rightarrow 0} P \cdot \varepsilon(P)$

$$\Rightarrow \text{d'où : } \varepsilon_s = \lim_{P \rightarrow 0} \frac{P^q \cdot E_0}{P^q + k}$$

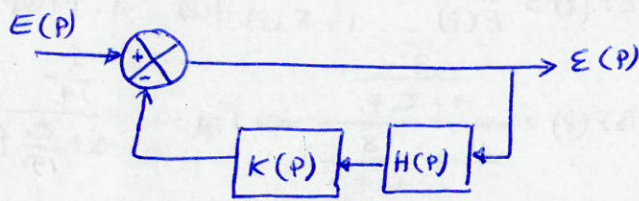
2° charge de système ou Nombre  
d'intégration de la fonction en  
Boucle ouverte.

| $\alpha$        | $\alpha = 0$      | $\alpha = 1$ | $\alpha = 2$ |
|-----------------|-------------------|--------------|--------------|
| $\varepsilon_s$ | $\frac{E_0}{1+k}$ | 0            | 0            |
| Précision       | non précis        | précis       | Précis       |

\* la fonction de transfert fait en boucle ouverte

$$F_{TBO}(P) = K(P), H(P) = \frac{k}{P^\alpha} \cdot \frac{N(P)}{D(P)}$$

\* la fonction d'erreur  $\varepsilon(P) = H_E(P) \cdot E(P)$



$$\Rightarrow \varepsilon(P) = \frac{1 \cdot E(P)}{1 + F_{TBO}(P)} = \frac{1 \cdot E(P)}{1 + K(P) \cdot H(P)}$$

$$\Rightarrow \varepsilon(P) = \frac{1}{1 + \frac{K}{P^\alpha} \frac{N(P)}{D(P)}} \cdot E(P) \quad \text{avec } N(0) = 1 \quad D(0) = 1$$

Erreur statique  $\varepsilon_s$

on applique à l'entrée un échelon

$$e(t) = E_0 \cdot u(t)$$

$$E_0 \xrightarrow{e(t)} \Rightarrow E(P) = \frac{E_0}{P}$$

$$\varepsilon_s = \lim_{P \rightarrow 0} P \cdot \varepsilon(P) = \lim_{P \rightarrow 0} \frac{1}{1 + \frac{K}{P^\alpha}} \cdot E_0$$

le système est précis si sa fonction en  
boucle ouverte possède une intégration  
au moins

\* Erreur de traînage

on applique à l'entrée  $e(t)$  une rampe

$$e(t) = V_0 \cdot t \cdot u(t)$$

$$\Rightarrow E(P) = \frac{V_0}{P^2}$$

$$\varepsilon_T = \lim_{P \rightarrow 0} P \cdot \varepsilon(P) \Rightarrow \varepsilon_T = \frac{V_0}{P^\alpha} \cdot \frac{P^\alpha}{P^\alpha + k}$$

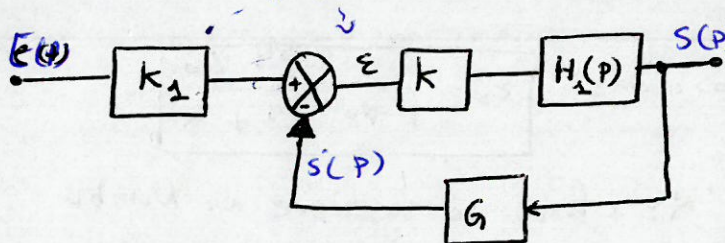
$$\Rightarrow \varepsilon_T = V_0 \cdot \frac{P^{\alpha-1}}{P^\alpha + k}$$

| $\alpha$        | 0         | 1               | 2   |
|-----------------|-----------|-----------------|-----|
| $\varepsilon_T$ | $+\infty$ | $\frac{V_0}{k}$ | 0   |
| Precision       | Non       | Non             | Oui |

C/C :

le système à une erreur de traînage nulle  
si il y a au moins deux intégrations

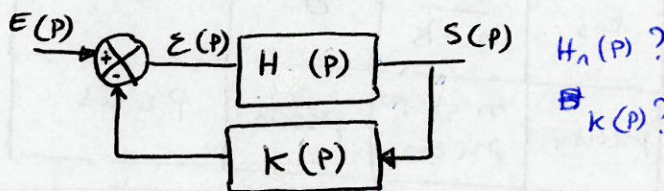
## EX 2°



Données :  $K_1 = 2$ ,  $K = 1.5$ ,  $G = 3$

$$H_1(P) = \frac{A}{1 + \zeta_1 P} \text{ avec } A = 2, \zeta_1 = 0.5 \text{ s}$$

2° Simplifier le schéma bloc :



3° Calculer la fonction en boucle ouverte  $FTBO(P)$  et la mettre sous la forme suivante :  $FTBO(P) = \frac{k_{bo}}{1 + \zeta_{bo} P}$

Donner les valeurs  $k_{bo}$ ,  $\zeta_{bo}$  ?

4° Déduire le temps de réponse à 5% de la fonction en boucle ouverte.

4° Calculer la fréq de trans fint en boucle fermée  $FTBF(P)$  et la mettre sous la forme suivante

$$FTBF(P) = \frac{k_{bf}}{1 + \zeta_{bf} P}$$

que vaut  $k_{bf}$  et  $\zeta_{bf}$

5° déduire le temps de réponse à 5% et conclure sur la rapidité du système

6° on applique maintenant un échelon à l'entrée  $e(t) = E_0 \cdot u(t)$  avec  $E_0 = 5V$

a/ calculer la valeur finale  $s_f$

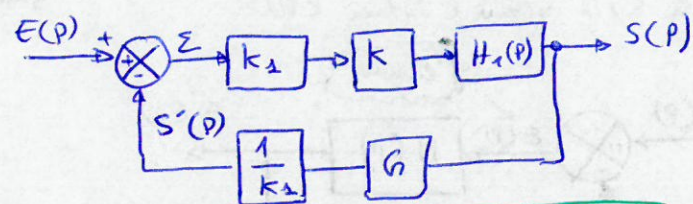
b/ l'enrouement statique

c/ que peut-on dire de la précision du système

## EX 2 - Corrigé

1° simplification du schéma

$$\text{min : } \varepsilon(P) = K_1 E(P) - G \cdot S(P) \\ = K_1(E(P)) - \frac{G}{K_1} S(P)$$



$$\text{donc : } H(P) = K \cdot K_1 \cdot H_1(P) = \frac{3 \times 2}{1 + \zeta_1 P} \\ K(P) = \frac{G}{K_1} = \frac{3}{2} = 1.5$$

2°  $FTBO(P)$  ?

$$FTBO(P) = \frac{S'(P)}{\varepsilon(P)} = K_1 \cdot K \cdot G \cdot H_1(P)$$

$$\hookrightarrow FTBO(P) = \frac{g}{1 + 0.5P} \Rightarrow \left\{ \begin{array}{l} k_{bo} = g \\ \zeta_{bo} = 0.5 \end{array} \right.$$

3° Le temps de réponse  $t_{rs\%}$  système ferme ⇒  $t_{rs\%} = 3\zeta_{bo} = 1.5 \text{ s}$

4°  $FTBF$  ?

$$FTBF(P) = \frac{S(P)}{E(P)} = \frac{H(P)}{1 + K(P) \cdot H(P)} = \frac{H(P)}{1 + FTBO(P)}$$

$$FTBF(P) = \frac{\frac{6}{1 + \zeta_1 P}}{1 + \frac{g}{1 + \zeta_1 P}} \Rightarrow FTBF = \frac{6}{10}$$

$$k_{bf} = \frac{6}{10}, \quad \zeta_{bf} = \frac{\zeta_1}{10} = \frac{0.5}{10}$$

5°  $t_{rs5\%} \Rightarrow$  système  $t_{rs5\%} = \frac{3\zeta_1}{10} = \frac{t_{rs\%}}{10}$

$$t_{rs5\%} = \frac{1}{10} \cdot t_{rs\%} = \frac{1.5}{10} = 0.15 \text{ s}$$

système devient rapide

$$6° e(t) = E_0 \cdot u(t) \Rightarrow E(P) = \frac{E_0}{P}$$

$$\bullet S(P) = \frac{E_0}{P} \cdot \frac{k_{bf}}{1 + \zeta_{bf} P} \Rightarrow s_f = \lim_{P \rightarrow 0} P \cdot S(P)$$

$$\bullet E(P) = \frac{1}{1 + FTBO(P)} \cdot E(P) \Rightarrow s_f = k_{bf} \cdot E_0$$

$$S(P) = \frac{1}{2 + \frac{k_{bf}}{1 + \zeta_{bf} P}} \frac{E_0}{P} \Rightarrow S_f = \lim_{P \rightarrow 0} P \cdot S(P)$$

Le système mon précis

$$S_f = \frac{E_0}{2 + k_{bf}}$$

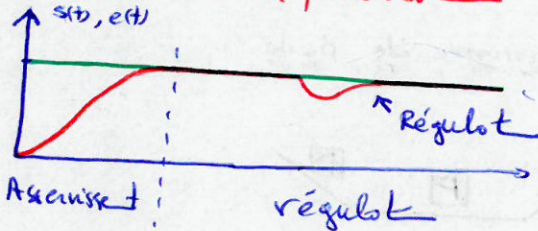
# Asservissement : connect des systèmes asservis

## Rôle de connect :

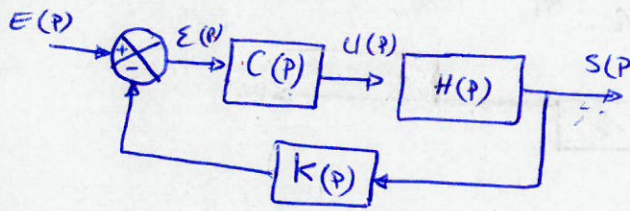
### Améliorer l'asservissement :

→ rend le système rapide, stable et précis.

### Améliorer la régulation du système vis-à-vis de la perturbation



## Structure



$C(P)$ : la fonction de transfert de connecteur.

connecteur: c'est la dispositif « intelligent » dans une boucle de régulation qui permet de traiter le signal d'erreur  $\epsilon(t)$  entre la consigne et la mesure de synthèse en produisant un signal de connecteur selon le principe d'action

⇒ Action proportionnelle (P)

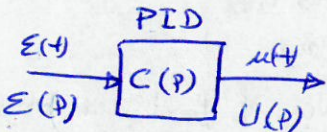
⇒ Action intégrale (I)

⇒ Action dérivée (D)

l'association des différentes actions :

P, PI, PD, PID

→ Avance de phase



$$C(P) = \frac{U(t)}{E(t)}$$

\* Caractéristique des connecteurs

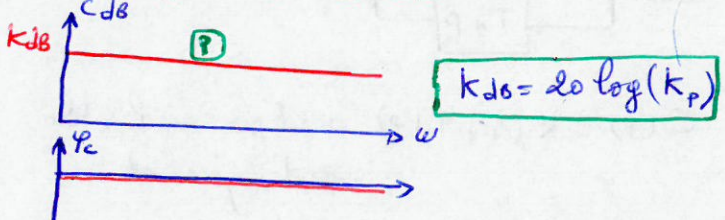
### connecteur proportionnel : P

$$\begin{array}{ccc} \epsilon(t) & \xrightarrow{\text{K}_p} & u(t) \\ \epsilon(p) & & u(p) \end{array} \Rightarrow u(t) = k_p \cdot \epsilon(t)$$

$$C(p) = k_p$$

$$U(p) = k_p \cdot \epsilon(p)$$

⇒ Diagramme de Bode

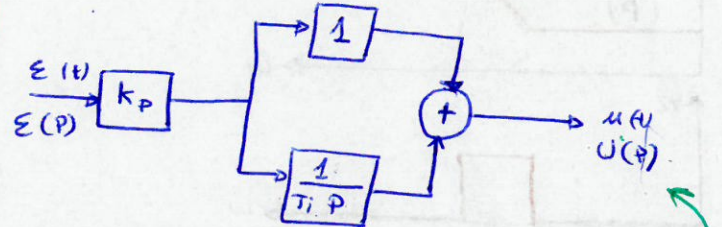


C/C ce type de connecteur :

→ augmente la précision et la rapidité

→ diminue la stabilité (on peut y avoir l'instabilité si on augmente plus k\_p)

### connecteur proportionnel intégral : I



donc :

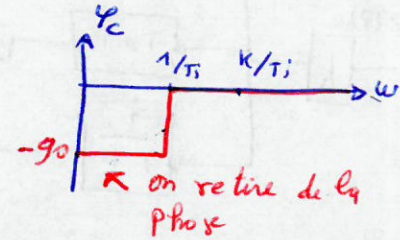
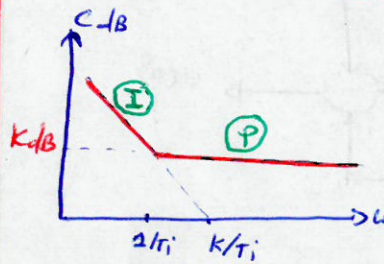
$$u(t) = k_p \epsilon(t) + \frac{k_p}{T_i} \int \epsilon(t) dt$$

$$U(p) = k_p \left( 1 + \frac{1}{T_i p} \right) \epsilon(p)$$

$$C(p) = k_p \frac{1 + T_i p}{T_i p}$$

$$C(j\omega) = k_p \frac{1 + T_i j\omega}{T_i j\omega}$$

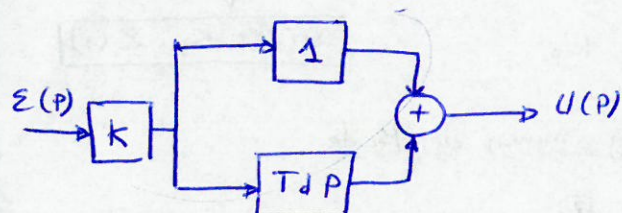
⇒ Diagramme de Bode



C/C : ce type de correcteur :

- ⊕ Annule l'énergie statique  $\Rightarrow$  précis
- ⊖ Ajoute une phase ( $-90^\circ$ )  $\Rightarrow$  effet désstabilisant.

$\Rightarrow$  correcteur P.D : proportionnel dérivé !

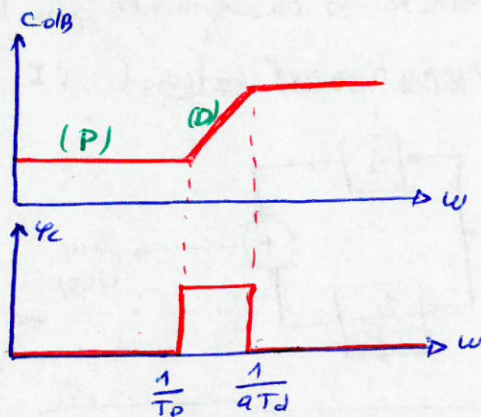


$$C(P) = k(1 + T_d P) \text{ n'est pas réalisable physiquement}$$

on le remplace par correcteur avance de phase

$$C(P) = k \frac{1 + T_d P}{1 + q T_d P} \text{ avec } q < 1$$

$\Rightarrow$  Diagramme de Bode

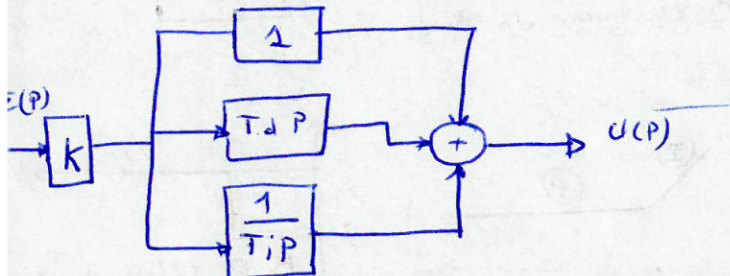


C/C : ce type de correcteur :

$\Rightarrow$  Augmente le marge de stabilité (Marge Phase)

$\Rightarrow$  ralentit le système : influe sur la rapidité

② Correcteur PID



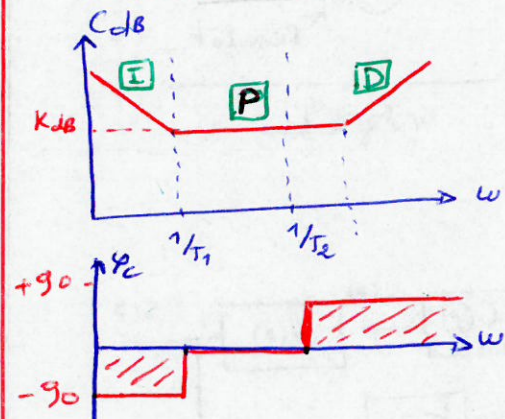
$$C(P) = k \frac{1 + T_i P + T_i T_d P^2}{T_i P}$$

$$C(P) = k \frac{(1 + T_1 P)(1 + T_2 P)}{T_i P}$$

$$\text{avec } T_{1,2} = \frac{T_i}{2} \left[ 1 \pm \sqrt{1 - 4 T_d / T_i} \right]$$

$$\text{Si } T_i \geq 4 T_d$$

\* Diagramme de Bode

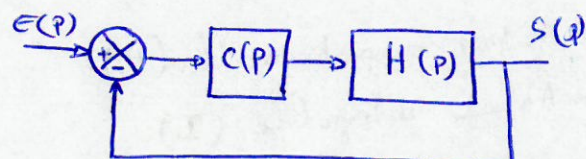


C/C : Il combine les effets de l'octave

Intégrale (Annulation de l'énergie statique) et de l' octave dérivée (stabilité et rapidité)

\* Méthode de correcteur

\* Méthode à compensation des pôles des correcteurs PI



$$C(P) = k \frac{1 + T_i P}{T_i P} \quad \text{et} \quad H(P) = \frac{k_2}{1 + T_2 P}$$

cahier des charges :

+ l'énergie statique nulle

+ temps de réponse  $\Rightarrow t_{res\%}$

en BF  $t_{res\%} = 30 \text{ ms}$

$$\begin{cases} \rightarrow k_1 = 2 \\ \rightarrow k_2 = 1 \text{ s} \end{cases}$$

- on souhaite d'avoir 1% fint en boucle fermée, une fint de 2 ème ordre

#### IV - Correcteur avance de phase.

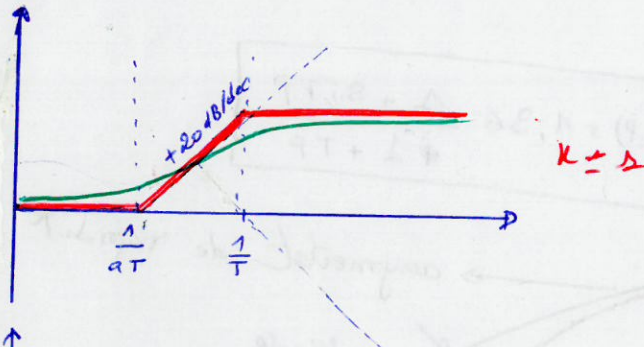
les correcteurs PI [ $C(s) = k; (1 + \frac{1}{T_p s})$ ] et PDI ( $C(s) = k_s (1 + T_d s)$ ) étant irréalisables physiquement, on leur préfère les correcteurs à avance et à retard de phase.

$\Rightarrow$  un correcteur à avance de phase et un correcteur de fonction de transfert

$$C(s) = k \frac{1 + \alpha T_p s}{1 + T_p s} \text{ avec } \alpha > 1$$

- On a  $\varphi_m = \alpha \sin\left(\frac{\omega - \omega_n}{\omega_n}\right)$

#### \* Diagramme de Bode.



$$C(j\omega) = \frac{1 + \alpha T j \omega}{1 + T j \omega} = (1 + j \frac{\omega}{\omega_n})(\frac{1}{1 + j \frac{\omega}{\omega_n}})$$

$$\omega_n = \frac{1}{T_p} < \omega_d = \frac{1}{T}$$

C/L : ce correcteur permet :

- $\Rightarrow$  rendre le système stable
- $\Rightarrow$  augmenter la rapidité

#### \* Réglage de $k$ , $\alpha$ et $T$

choisir des charges demandées :

$\Rightarrow$  une marge de phase  $\Rightarrow$  stabilité

$\Rightarrow$  la pulsation  $\omega_{dB}$  correspond à un gain nul

$\Rightarrow$  comment faire les calculs

(1) ajuster  $\omega_m = \omega_{dB}$ , si cette pulsation n'est pas donnée on le choisit supérieur à  $\omega_{dB}$  du boucle ouvert  $\Rightarrow$  la rapidité du système  $\omega_{dB} \uparrow \Rightarrow$  système rapide.

(2) la marge de phase demandée nous permet de calculer  $\varphi_m$ :

$$M_p = 45 = 180 + \text{Arg}(FB_0(j\omega_{dB})) + \varphi_m$$

$$\Leftrightarrow \varphi_m = M_p - 180 - \text{Arg}(FB_0(j\omega_{dB}))$$

$$\text{on calcule } \alpha : \alpha = \frac{1 + \sin \varphi_m}{1 + \sin M_p}$$

$$\Rightarrow \text{dans calcul} : T = \frac{1}{\omega_{dB} \sqrt{\alpha}}$$

$\Rightarrow$  on détermine  $k$  pour  $\omega_m = \omega_{dB}$

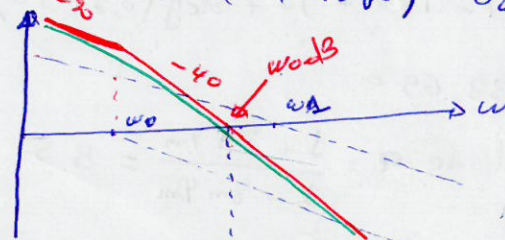
$$\text{Exo: } FB_0(s) = \frac{100}{P(s + 0.2s.P)} \quad C.H. = 1$$

on souhaite :

- une marge de phase de  $45^\circ$
- une pulsation de gain nul égale à  $\omega_{dB} = 50$  rad/s

$\Rightarrow$  on trace tous d'abord, le diagramme de Bode :

$$FB_0(j\omega) = \frac{100}{j\omega(s + 0.2s)} = \frac{k}{j\omega(s + j\omega_n)}$$



$\Rightarrow$   $M_p > 0 \Rightarrow$  système stable.

système non corrigé:

pour gain nul :  $G_0 = 0$ ,  $\omega_{0dB} \rightarrow ?$

$$|FTBO(j\omega_{0dB})| = 1$$

$$\frac{100}{\omega_{0dB} \sqrt{1 + (0.1 \cdot \omega_{0dB})^2}} = 1$$

$$\omega_{0dB}^2 (1 + (0.2 \cdot \omega_{0dB})^2) = (100)^2$$

$$0.2 \omega_{0dB}^2 + \omega_{0dB}^2 - (100)^2 = 0$$

$$0.02 X^2 + X - (100)^2 = 0 \quad X = \omega_{0dB}^2$$

$$\Rightarrow X = 952 \text{ soit } \boxed{\omega_{0dB} = 30 \text{ rad/s}}$$

$\Rightarrow$  Marge de phase?

$$M_p = 180 + \text{Arg}(FTBO(j\omega_{0dB}))$$

$$M_p = 180 - 90 - \arctg(0.2 \omega_{0dB})$$

$$\boxed{M_p = 18^\circ} \Rightarrow$$

Maintenant on doit dimensionner le correcteur en phase.

$$\textcircled{1} \text{ on } \omega_m = \omega_{0dB} = 50 \text{ rad/s}$$

\textcircled{2} calcul  $\varphi_m$ ?

$$M_p = 180 + \text{Arg}(FTBO(j\omega_{0dB}) + \varphi_m)$$

$$\begin{aligned} \varphi_m &= M_p - 180 + 90 + \arctg(0.1 \cdot \omega_{0dB}) \\ &= 45 - 180 + 90 + \arctg(0.2 \times 50) \end{aligned}$$

$$\varphi_m = 33.69^\circ$$

$$\textcircled{3} \text{ calcul de } \alpha = \frac{1 + 8 \sin \varphi_m}{1 - 8 \sin \varphi_m} = 3.5$$

$$4/ \text{ calcul de } T : \omega_{0dB} = \frac{1}{\sqrt{K \cdot T}} = \omega_m$$

$$T = \frac{1}{\sqrt{K \cdot \omega_{0dB}}} = 0.0107 \text{ s}$$

5/ on calcule  $K$  pour avoir un gain nul à  $\omega = \omega_{0dB} = 50 \text{ rad/s}$

$$FTBO(j\omega) = K \frac{1 + \alpha T j\omega}{1 + T j\omega} \times \frac{100}{j\omega (1 + j\alpha T)}$$

$$G = 20 \log K + 20 \log \left( \frac{\sqrt{1 + (\alpha T)^2}}{\sqrt{1 + (T)^2}} \right) + 20 \log \left( \frac{100}{\omega \sqrt{1 + (\alpha T)^2}} \right)$$

$$\Rightarrow G = 20 \log K + 20 \log \sqrt{q} + 20 \log \left( \frac{100}{\omega_{0dB} \sqrt{1 + (\alpha T)^2}} \right)$$

$$G = 20 \log K + 5.44 - 8.13 = 0$$

$$K = 10^{+ \frac{8.13 - 5.44}{20}} = 1.36$$

$$\Rightarrow C(P) = 1.36 \frac{1 + 3.5 T P}{1 + T P}$$

